

铸钢件生产的重要质量环节——热处理

桂林橡胶机械厂 (541002) 傅宁列

习惯认为,铸钢件只要化学成份符合规定,无铸造缺陷就是合格的铸件。其实,无论从设计还是从使用方面考虑,铸钢件的力学性能是最为关键的质量要素,在ISO3755—87和GB11352—89标准执行后,碳钢的力学性能指标替代了含碳量作为铸件的牌号,更加说明力学性能的重要性。良好的力学性能是通过合适的热处理得到的。当前国内铸钢件的热处理普遍是在煤窑反射炉内进行的,其缺点是:炉内温度不均匀,炉况难控制,加上多数厂家对铸造生产的最后工序——热处理不重视,促使铸钢件的热处理达不到质量要求,残留的铸态组织会严重影响铸钢件的力学性能,给铸件质量带来隐患。因此,热处理工序是铸钢件生产中的重要质量环节。

1. 生产实例

我厂在生产中曾出现过下述质量问题:

(1)有一 $703 \times 700 \times 110\text{mm}$ 的方形铸件,材质为ZG230—450,经铸造和完全退火后,四周边焊接到组合机构上。在组合体机加工时发现该铸件的基本上出现大面积的微裂纹,经切片金相分析,组织中有铸态的魏氏体、晶粒度达1级以上。

(2)有一铸造压力容器,材质为ZG230—450Ⅰ,铸造后采用完全退火处理,按合同要求,每炉次做力学性能抽样检验:抗拉强度 $\sigma_b = 465 \sim 478\text{MPa}$ 、延伸率 $\delta_s = 18\% \sim 20.7\%$,强度合格,而延伸率均达不到牌号要求,金相分析显示:有残余块状魏氏体、晶粒度1~2

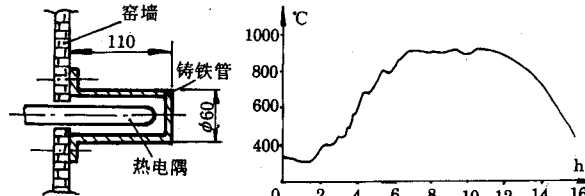


图1 测温装置

图2 3#窑炉退火温度一时间曲线记录

表2附图

表1 常用铸钢件正火或退火温度

铸钢牌号	正火或退火温度 / ℃
ZG230-450Ⅰ	900~930
ZG230-450	880~900
ZG270-500	860~880
ZG310-570	840~860
ZG40Mn	840~860
ZG35SiMnMo	870~890

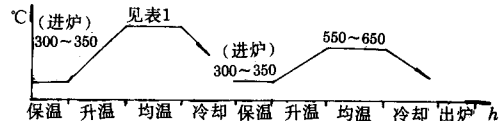


表2 常用铸钢件热处理工艺

铸钢牌号	壁厚(mm)	保温(h)	升温(℃/h)	均温(℃)	冷却(℃)	保温(h)	升温(℃/h)	均温(℃)	冷却(℃)	出炉(℃)
ZG230-450Ⅰ	<200	1	100							
ZG230-450				每10t加1h	炉内冷至<400出炉					
ZG270-500	200~500	2	90							
ZG310-570	<200	2	90	每10t加1h	空冷至300~350	1	100	2	炉内冷至<350	350
ZG40Mn										
ZG35SiMnMo	200~500	3	70			2	90	2		350

热处理电炉热损失及对策

南昌湾里工具厂 (330004) 王荣滨

我国热处理加热设备 95%以上用电加热，电炉又是热处理主要加热设备，广泛应用于金属材料的退火、正火、淬火、回火和多种化学热处理。金属热处理有“电老虎”之称，据统计，用电量占全国总发电量的 0.80%~0.90%，占机械行业用电量的 20%~25%，而电炉占热处理设备用电量 80%~90%，热能利用率仅 60%~70%，电炉热损失相当严重。

1. 炉门开启热损失

(1) 炉门开启辐射热损失 Q_f

$$Q_f = 4.96 \left[\left(\frac{T_1}{100} \right)^4 - \left(\frac{T_0}{100} \right)^4 \cdot F \cdot \phi \cdot \delta_i \right] (\text{卡}/\text{h})$$

式中 T_1 ——炉膛内绝对温度， $^{\circ}\text{C}$

T_0 ——炉外空气的绝对温度， $^{\circ}\text{C}$

F ——炉门开启面积， m^2

δ_i ——炉门开启率

ϕ ——遮蔽系数，大小决定于炉门结构。炉门口愈厚， ϕ 愈小；圆形炉门口 ϕ 最小，矩形炉门口 ϕ 较大。

(2) 炉门开启时溢气热损失 Q_s

炉门开启时产生炉内热气与炉外冷气对流，造成热气外溢，冷气吸入导致溢气热损失。

$$Q_s = VrC(t_2 - t_1) \cdot \delta_i (\text{卡}/\text{h})$$

式中 V ——进入炉内冷空气量， m^3/h

r ——炉外冷空气密度， kg/m^3

C ——空气比热， $\text{卡}/\text{m}^3 \cdot ^{\circ}\text{C}$

t_1 ——炉外冷空气温度， $^{\circ}\text{C}$

t_2 ——溢出炉气温度， $^{\circ}\text{C}$

δ_i ——炉门开启率

2. 炉墙蓄热损失 Q_x

$$Q_x = V_1 r_1 (C_1' t_1' - C_1 t_0) + V_2 r_2 (C_2' t_2' - C_2 t_0) (\text{卡})$$

式中 V_1, V_2 ——耐火层与保温层体积， m^3

t_0 ——室温， $^{\circ}\text{C}$

r_1, r_2 ——耐火材料与保温材料比重， kg/m^3

t_1', t_2' ——耐火层与保温层工作时平均温度， $^{\circ}\text{C}$

C_1', C_2' ——耐火材料与保温材料温度为 t_1', t_2' 时的比热， $\text{卡}/\text{kg} \cdot ^{\circ}\text{C}$ ； C_1, C_2 相应室温下比热。

3. 炉墙散热损失 Q

$$Q = \frac{t_1 - t_0}{\frac{S_1}{\lambda_1} + \frac{S_2}{\lambda_2} + \frac{1}{a_2}} \cdot F_j (\text{卡}/\text{h})$$

式中 t_1 ——炉膛内壁温度， $^{\circ}\text{C}$

t_0 ——车间温度， $^{\circ}\text{C}$

S_1, S_2 ——轻质耐火砖与保温材料厚度， m

λ_1, λ_2 ——轻质耐火砖与保温材料平均温度导热系数， $\text{卡}/\text{m} \cdot \text{h} \cdot ^{\circ}\text{C}$

F_j ——炉衬平均散热面积， m^2

a_2 ——炉衬外表面对周围空气的综合给热系数， $\text{卡}/\text{m}^2 \cdot \text{h} \cdot ^{\circ}\text{C}$ ；说明炉壳外表面通过辐射与对流方式传热给车间空气能力大小。

4. 对策

据统计，我国金属热处理 1t 工件耗电 1200~1800kW·h/t，而工业发达的日本国金属热处理 1t 工件耗电仅 300~350kW·h/t，相差 4~5 倍，电能的损失和浪费是相当惊人。原因是多方面的，如热处理加热设备陈旧落后，热处理电炉炉衬蓄热量大，绝热效果差，散热严重，热效率低，连续性生产差，工艺落后，管理不善等。因此热处理行业节能潜力很大，可采用如下对策。

(1) 改造与更新旧电炉，发展新型节能热处理电炉

表 1 数据说明，硅酸铝耐火纤维导热系数小，比重小，使用温度高（与耐火粘土砖相当），既是良好的耐火材料，又是优良保温材料。试验表明，合理设计、配置其

表 3 反射炉整改后力学试验结果

铸钢牌号	屈服强度 (σ_s/MPa)	抗拉强度 (σ_b/MPa)	延伸率 $\delta_s/(\%)$	收缩率 $\Psi/(\%)$	冲击韧性 $A_k/\text{KJ} \cdot \text{m}^{-2}$	热处理方式
ZG230-450 I	254~278	486~512	23.7~25.1	36.5~38.9	470~490	完全退火
ZG270-500	281~327	524~567	18.9~22.0	26.1~30.5	360~430	完全退火
ZG310-570	327~349	586~609	16.6~17.9	20.8~22.3	320~380	安全退火
	347~363	602~627	15.7~16.2	20.7~21.8	610~670	正火
ZG40Mn	358	629	15.5	20.4	690	正火

(编辑 乐平)